

## บทที่ 4

### ผลการวิจัย

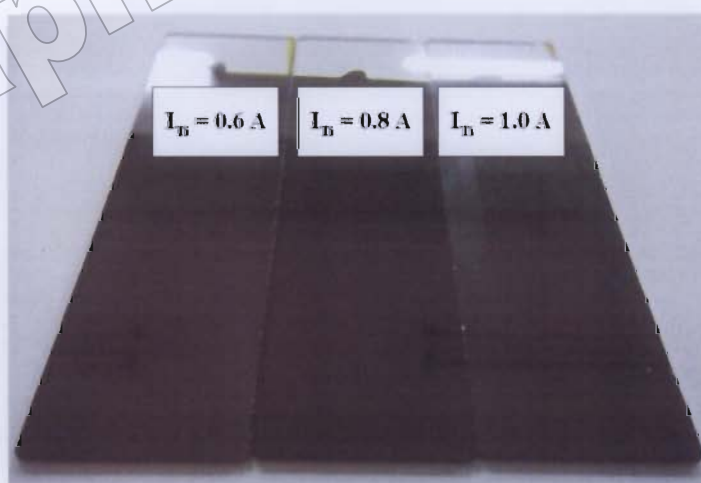
บทนี้เป็นถึงข้อมูลจากการทดลองตามแนวทางการศึกษาในบทที่ 3 ซึ่งแบ่งเป็นผลของกระแสไฟฟ้าของเป้าไทยเนียม และผลของเวลาในการเคลื่อนต่อโครงสร้างพืล์มซึ่งมีรายละเอียดดังนี้

#### ผลของกระแสไฟฟ้าของเป้าไทยเนียม

ส่วนนี้เป็นข้อมูลจากการวิเคราะห์ด้วยภาพของพืล์มน้ำงา ไทด์ไฟฟ้าของเป้าไทยเนียมซึ่งมีรายละเอียดในไตรค์ที่เคลื่อนด้วยวิธีรีแอคตีฟโคลปิตเตอร์ โดยแบ่งคร่ากระแสไฟฟ้าของเป้าไทยเนียม 3 ค่า คือ 0.6 A, 0.8 A และ 1.0 A ตามลำดับ ซึ่งประกอบด้วยลักษณะทางกายภาพ โครงสร้างพืล์ม ค่าคงที่ และพิษชนาคผลัก ความหนา ลักษณะพื้นผิว และองค์ประกอบฐานของพืล์มน้ำงาที่เคลื่อนได้

##### 1. ลักษณะทางกายภาพ

พืล์มน้ำงา ไทด์ไฟฟ้าของเป้าไทยเนียมซึ่งมีรายละเอียดในไตรค์ที่เคลื่อนบันกระจากสไลด์ด้วยกระแสไฟฟ้าของเป้าไทยเนียมต่างๆ ในงานวิจัยนี้ เมื่อสังเกตด้วยตาเปล่าพบว่าผิวน้ำงาพืล์มน้ำงามีลักษณะเรียบเนียน สะท้อนแสงดี พืล์มน้ำงามีลักษณะเด่นขึ้น เมื่อกระแสไฟฟ้าของเป้าไทยเนียมเพิ่มขึ้น ดังแสดงในภาพที่ 4-1

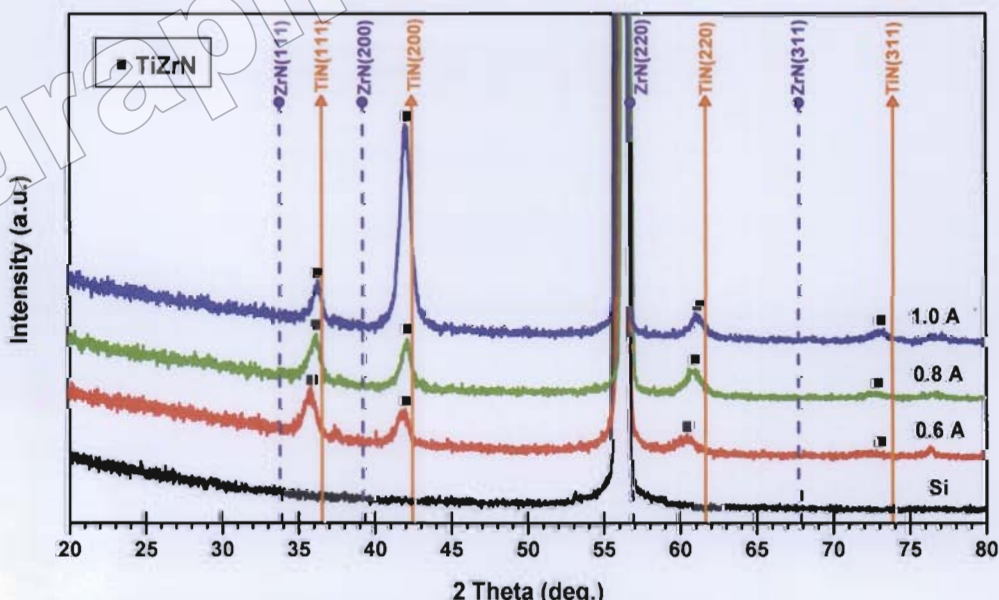


ภาพที่ 4-1 ลักษณะและสีของพืล์มน้ำงา ไทด์ไฟฟ้าของเป้าไทยเนียมซึ่งมีรายละเอียดในไตรค์ที่เคลื่อนบันกระจากสไลด์ด้วยกระแสไฟฟ้าของเป้าไทยเนียมต่าง ๆ

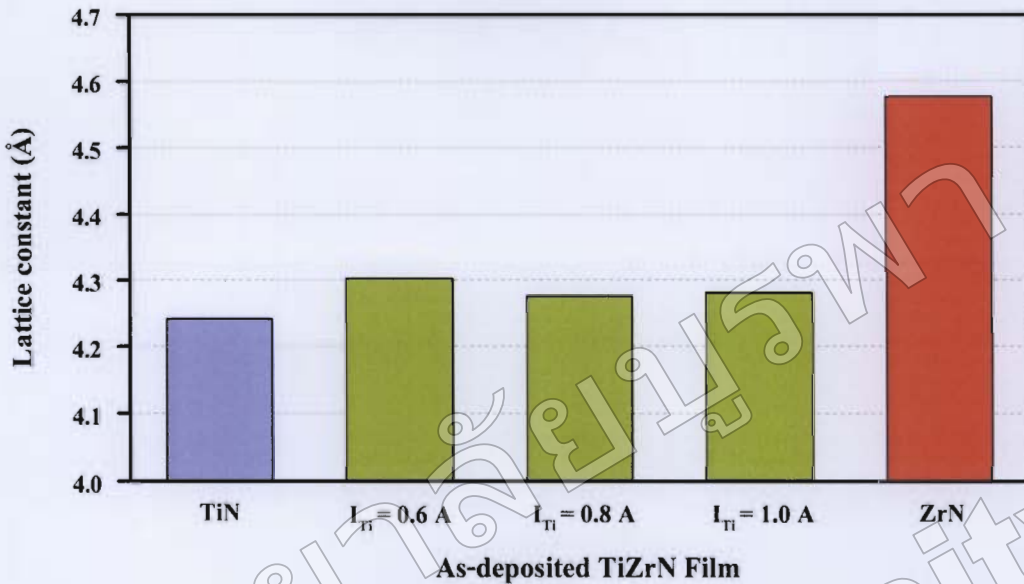
## 2. โครงสร้างผลึก

ภาพที่ 4-2 แสดงรูปแบบการเลี้ยวเบนรังสีเอกซ์จากเทคนิค XRD ของฟิล์มบางที่เคลือบได้ในงานวิจัยนี้ ที่เคลือบเมื่อกระแสไฟฟ้าของเป้าไทเทเนียมเท่ากับ 0.6 A, 0.8 A และ 1.0 A พนวณว่า ฟิล์มที่เคลือบได้ทั้งหมด แสดงรูปแบบการเลี้ยวเบนรังสีเอกซ์เหมือนกันทุกเงื่อนไขการเคลือบ แตกต่างกันเพียงความเข้มของรูปแบบการเลี้ยวเบนรังสีเอกซ์เท่านั้น จากผล XRD ของฟิล์มที่ได้ เมื่อใช้กระแสไฟฟ้าของเป้าไทเทเนียมเท่ากับ 0.6 A พนรูปแบบการเลี้ยวเบนรังสีเอกซ์ที่มุม  $35.92^\circ$ ,  $41.96^\circ$ ,  $60.70^\circ$  และ  $76.56^\circ$  ขณะที่เมื่อใช้กระแสไฟฟ้าของเป้าไทเทเนียมเท่ากับ 0.8 A พนรูปแบบการเลี้ยวเบนรังสีเอกซ์ที่มุม  $36.22^\circ$ ,  $42.22^\circ$  และ  $61.02^\circ$  และเมื่อใช้กระแสไฟฟ้าของเป้าไทเทเนียมเท่ากับ 1.0 A พนรูปแบบการเลี้ยวเบนรังสีเอกซ์ที่มุม  $36.38^\circ$ ,  $42.16^\circ$ ,  $61.26^\circ$  และ  $73.34^\circ$  สำหรับ รูปแบบการเลี้ยวเบนรังสีเอกซ์ที่มุม  $56.50^\circ$  เป็นตำแหน่งพีกของซิลิโคนที่ใช้เป็นวัสดุรองรับ

หากพิจารณารูปแบบการเลี้ยวเบนรังสีเอกซ์ของไทเทเนียมในไตรด์และเซอร์โคเนียม ในไตรด์ ซึ่งใช้เป็นตำแหน่งอ้างอิง จากมาตรฐาน JCPDS เลขที่ 381420 และ 311493 ตามลำดับ สำหรับเมริย์เทียนการเกิดฟิล์มบาง ไทเทเนียมเซอร์โคเนียมในไตรด์ที่เคลือบได้ พนว่ารูปแบบ การเลี้ยวเบนรังสีเอกซ์ของฟิล์มที่เคลือบได้ อยู่ระหว่างรูปแบบการเลี้ยวเบนรังสีเอกซ์ของ ไทเทเนียมในไตรด์และเซอร์โคเนียมในไตรด์ จึงกล่าวได้ว่าฟิล์มที่เคลือบได้ในงานวิจัยนี้คือ ฟิล์มบางของ ไทเทเนียมเซอร์โคเนียมในไตรด์ ระนาบ (111), (200), (220) และ (311) ตามลำดับ โดยมีรูปแบบ (200) เป็น preferred orientation



ภาพที่ 4-2 รูปแบบการเลี้ยวเบนรังสีเอกซ์ของฟิล์มบาง ไทเทเนียมเซอร์โคเนียมในไตรด์ ที่กระแสไฟฟ้าของเป้าไทเทเนียมต่าง ๆ



ภาพที่ 4-3 กราฟเปรียบเทียบค่าคงที่แล็ตทิชของฟิล์มที่เคลือบได้กับค่ามาตรฐาน

ภาพที่ 4-3 กราฟเปรียบเทียบค่าคงที่แล็ตทิชของฟิล์มที่เคลือบได้ กับค่ามาตรฐานของไทเทนเนียมในไตรด์และเซอร์โคโนเนียม ในไตรด์ จากมาตรฐาน JCPDS เลขที่ 381420 และ 311493 ตามลำดับ หาได้จากสูตรการคำนวณหาระยะห่างระหว่างระนาบผลึกในระบบผลึกที่มีโครงสร้างแบบเฟช เช็นเตอร์ คิวบิก พบว่าค่าคงที่แล็ตทิชของฟิล์มที่ได้ ไม่เข้ากับกระแสไฟฟ้าของเป้าไทเทนเนียม โดยมีค่าอยู่ในช่วง  $4.27 \text{ Å} - 4.30 \text{ Å}$  ซึ่งมีค่าอยู่ระหว่างค่าคงที่แล็ตทิชของไทเทนเนียมในไตรด์และเซอร์โคโนเนียมในไตรด์ ตามมาตรฐาน JCPDS ดังแสดงในตารางที่ 4-1

สำหรับขนาดผลึกของฟิล์มนางไทเทนเนียมเซอร์โคโนเนียมในไตรด์หาได้จาก Scherrer equation โดยอาศัยรูปแบบการเดี้ยวบนรังสีเอกซ์ของฟิล์มนางที่ได้ พบว่าเมื่อกระแสไฟฟ้าของเป้าไทเทนเนียมเพิ่มขึ้น ผลึกมีขนาดเพิ่มขึ้น โดยมีค่าในช่วง  $18.6 \text{ nm}$  ถึง  $24.7 \text{ nm}$  ดังแสดงในตารางที่ 4-2

ตารางที่ 4-1 ค่าคงที่แล็ตทิชของฟิล์มบางไทเทเนียมเชอร์โคเนียมในไตรด์ที่กระแสไฟฟ้าของเม้าไทเทเนียมต่าง ๆ

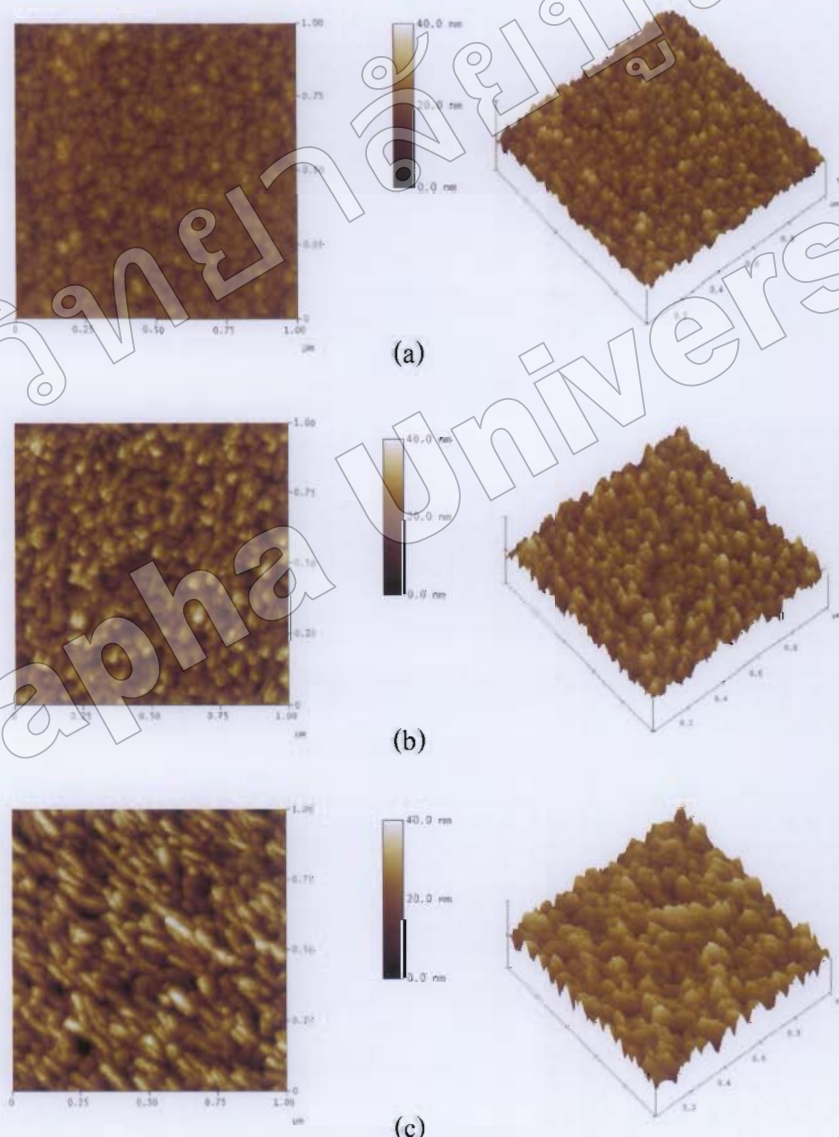
ค่าคงที่แล็ตทิช	มาตรฐาน		กระแสไทเทเนียม (A)		
	TiN	ZrN	0.6	0.8	1.0
	JCPDS No. 381420	JCPDS No. 311493			
$a = b = c$ (Å)	4.241	4.574	4.303	4.278	4.283
$\alpha = \beta = \gamma$ (องศา)	90	90	90	90	90

ตารางที่ 4-2 ขนาดผลึกของฟิล์มบางไทเทเนียมเชอร์โคเนียมในไตรด์ที่กระแสไฟฟ้าของเม้าไทเทเนียมต่าง ๆ

กระแสไทเทเนียม (A)	ระยะ (200)	
	FWHM (rad)	ขนาดผลึก (nm)
0.6 A	0.007	18.6
0.8 A	0.006	21.2
1.0 A	0.005	24.7

### 3. ความหนาและลักษณะพื้นผิว

ภาพที่ 4-4 สำหรับแสดงลักษณะพื้นผิวของฟิล์มบางไทเทเนียมเชอร์โคเนียมในไตรด์เคลื่อนที่กระแสของเป้าไทเทเนียมต่าง ๆ จากเทคนิค AFM พบว่าที่พิวน้ำของฟิล์มนี้มีการเปลี่ยนแปลงขนาดสม่ำเสมอใกล้เคียงกันกระจายทั่วพิวน้ำของฟิล์ม สำหรับความหนาและความหมายพื้นผิวของฟิล์มพบว่า เมื่อเพิ่มกระแสของเป้าไทเทเนียมจาก 0.6 A เป็น 1.0 A ฟิล์มที่เคลื่อนได้มีความหนา และความหมายพื้นผิวเพิ่มขึ้นดังแสดงในตารางที่ 4-3



ภาพที่ 4-4 ลักษณะพื้นผิวแบบ 2 มิติ และ 3 มิติ ของฟิล์มบางไทเทเนียมเชอร์โคเนียมในไตรด์ที่วิเคราะห์ด้วยเทคนิค AFM ที่กระแสไฟฟ้าของเป้าไทเทเนียมต่าง ๆ

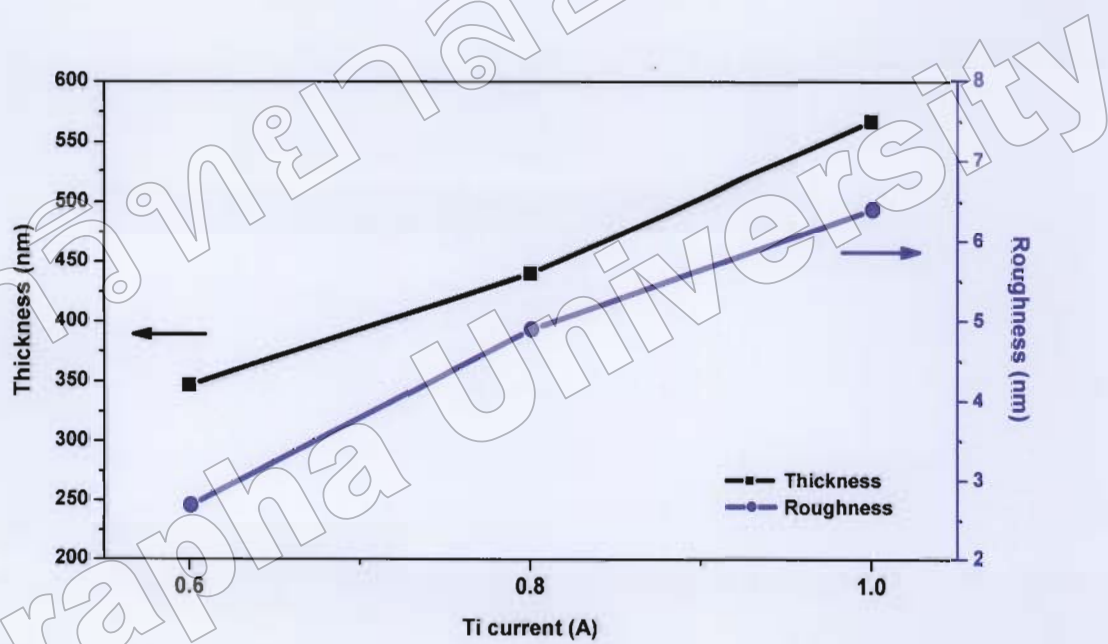
(a) 0.6 A

(b) 0.8 A

(c) 1.0 A

ตารางที่ 4-3 ความหนาและความหยาบผิวของฟิล์มบางไทเทเนียมเชอร์โคเนียมในไตรค์ที่กระแสไฟฟ้าของเป้าไทเทเนียมต่าง ๆ

กระแสไทเทเนียม (A)	ความหนา (nm)	ความหยาบผิว (nm)
0.6	347	2.7
0.8	440	4.9
1.0	567	6.5

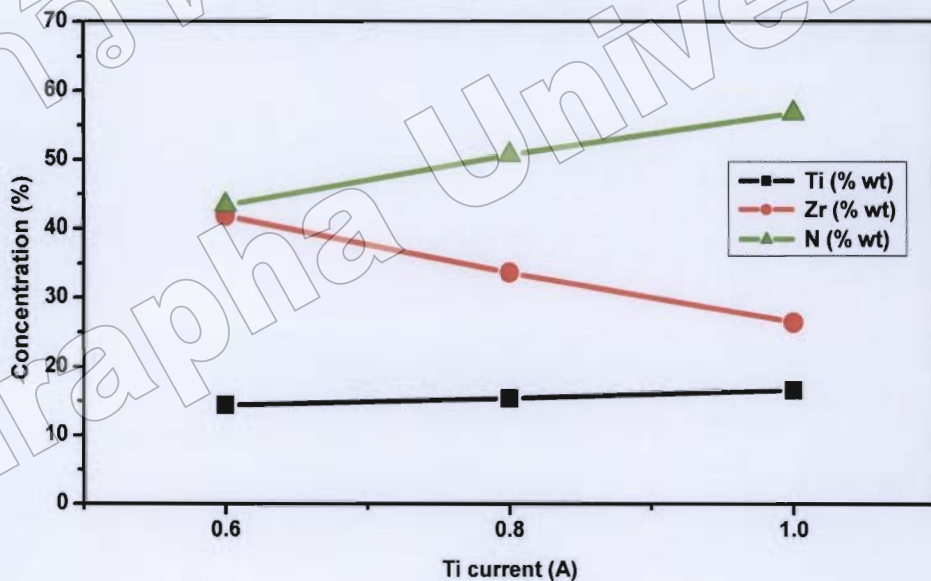


ภาพที่ 4-5 ความหนาและความหยาบผิวของฟิล์มบางไทเทเนียมเชอร์โคเนียมในไตรค์ที่กระแสไฟฟ้าของเป้าไทเทเนียมต่าง ๆ

#### 4. องค์ประกอบของฟิล์ม

ภาพที่ 4-6 แสดงผลของการประกอบของฟิล์มบางไทเทเนียมเชอร์โโคเนียมในไตรด์ที่วิเคราะห์ด้วยเทคนิค EDX พบว่าฟิล์มบางที่เคลือบได้ทั้งหมดมีไทเทเนียม (Ti) เชอร์โโคเนียม (Zr) และไนโตรเจน (N) เป็นองค์ประกอบในสัดส่วนต่าง ๆ โดยพบว่าเมื่อกระแสไฟฟ้าของเป้าไทเทเนียมเพิ่มขึ้นจาก 0.6 A เป็น 1.0 A องค์ประกอบของฟิล์มมีการเปลี่ยนแปลงดังนี้คือไทเทเนียมและไนโตรเจนมีค่าเพิ่มขึ้นจาก 14.4% เป็น 16.6% และ 43.4% เป็น 56.8% ตามลำดับขณะที่เชอร์โโคเนียมลดลงจาก 41.8% เป็น 21.3 %

จากการศึกษาผลของการกระแสไฟฟ้าของเป้าไทเทเนียม พบว่ากระแสไฟฟ้าของเป้าไทเทเนียม มีผลต่อโครงสร้างและลักษณะพื้นผิวของฟิล์มบางไทเทเนียมเชอร์โโคเนียมในไตรด์ ดังนั้นจึงเลือกกระแสไฟฟ้าของเป้าไทเทเนียมเท่ากับ 1.0 A ไปใช้ในการทดลองต่อไป



ภาพที่ 4-6 องค์ประกอบของฟิล์มบางไทเทเนียมเชอร์โโคเนียมในไตรด์ที่กระแสไฟฟ้าของเป้าไทเทเนียมต่าง ๆ

## ผลของเวลาในการเคลือบ

ส่วนนี้เป็นข้อมูลจากการวิเคราะห์ลักษณะเฉพาะของฟิล์มบางไทเทเนียมเชอร์โโคเนียมในไตรค์ที่เคลือบด้วยวิธีรีแอคติฟโคลัปปัตเตอริง โดยประค่าเวลาในการเคลือบท่ากัน 15, 30, 45 และ 60 นาที ตามลำดับ ประกอบด้วยถักยณะทางกายภาพ โครงสร้างผลึก ค่าคงที่แลดทิชขนาดผลึก ความหนา ลักษณะพื้นผิว และองค์ประกอบธาตุของฟิล์มบางที่เคลือบได้

### 1. ลักษณะทางกายภาพ

ฟิล์มบางไทเทเนียมเชอร์โโคเนียมในไตรค์ที่เคลือบบนกระดาษไอล์ด์ด้วยเวลาการเคลือบต่างๆ ในงานวิจัยนี้ เมื่อสังเกตด้วยตาเปล่าพบว่าฟิล์มนี้สีดำ ลักษณะเรียบเนียน ผิวน้ำฟิล์มที่เคลือบนาน 15 นาที มีการส่งผ่านแสงได้บางส่วน เมื่อเคลือบด้วยเวลานานขึ้นจนถึง 60 นาที พบร่วมกับฟิล์มที่เคลือบได้ส่งผ่านแสงได้น้อยลงและมีสีดำทึบ แสดงในภาพที่ 4-7



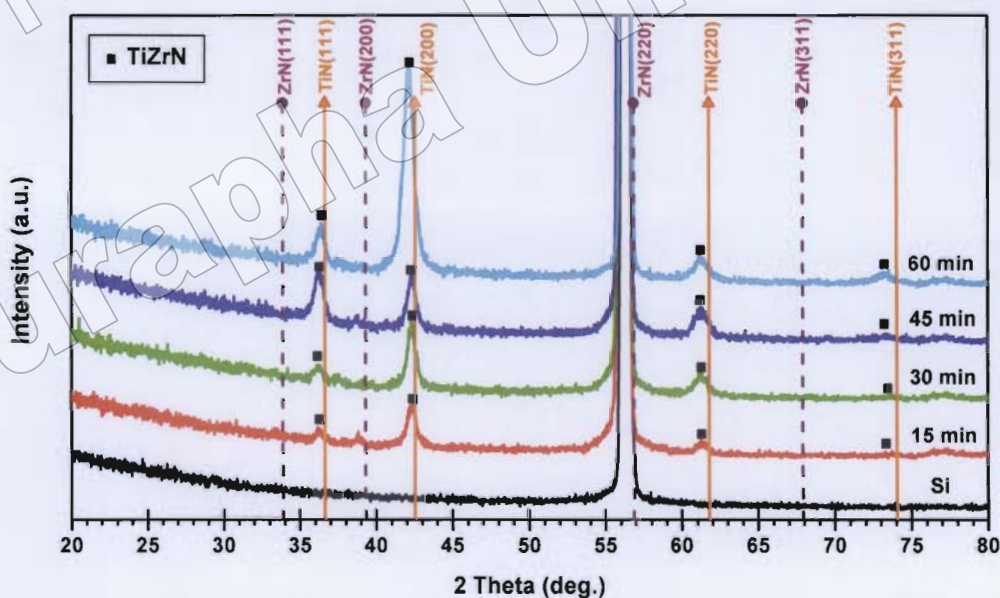
ภาพที่ 4-7 ลักษณะและสีของฟิล์มบางไทเทเนียมเชอร์โโคเนียมในไตรค์ที่เคลือบบนกระดาษไอล์ด์ด้วยเวลาในการเคลือบต่าง ๆ

### 2. โครงสร้างผลึก

ภาพที่ 4-8 แสดงรูปแบบการเลี้ยวเบนรังสีเอกซ์จากเทคนิค XRD ของฟิล์มบางที่เคลือบได้ในงานวิจัยนี้ เมื่อประค่าเวลาในการเคลือบจาก 15 นาที ถึง 60 นาที พบร่วมกับฟิล์มที่ได้ทั้งหมดแสดงรูปแบบการเลี้ยวเบนรังสีเอกซ์เหมือนกันทุกเงื่อนไขการเคลือบ แตกต่างกันเพียงความเข้มของรูปแบบการเลี้ยวเบนรังสีเอกซ์เท่านั้น

จากผล XRD ของฟิล์มที่เคลือบด้วยเวลา 15 นาที พบรูปแบบการเลี้ยวเบนรังสีเอกซ์ที่มุม  $36.26^\circ$ ,  $42.38^\circ$  และ  $61.36^\circ$  ขณะที่เมื่อเคลือบด้วยเวลา 30 นาที พบรูปแบบการเลี้ยวเบนรังสีเอกซ์ที่มุม  $36.22^\circ$ ,  $42.36^\circ$  และ  $61.28^\circ$  เมื่อเคลือบด้วยเวลา 45 นาที พบรูปแบบการเลี้ยวเบนรังสีเอกซ์ที่มุม  $36.28^\circ$ ,  $42.38^\circ$  และ  $61.26^\circ$  และเมื่อเคลือบด้วยเวลา 60 นาที พบรูปแบบการเลี้ยวเบนรังสีเอกซ์ที่มุม  $36.38^\circ$ ,  $42.16^\circ$ ,  $61.26^\circ$  และ  $73.34^\circ$  สำหรับรูปแบบการเลี้ยวเบนรังสีเอกซ์ที่มุม  $56.50^\circ$  เป็นตำแหน่งพีกของซิลิกอนที่ใช้เป็นวัสดุรองรับ

หากพิจารณารูปแบบการเลี้ยวเบนรังสีเอกซ์ของไทเทเนียมในไตรด์และเซอร์โคเนียมในไตรด์ ซึ่งใช้เป็นตำแหน่งอ้างอิง จากมาตรฐาน JCPDS เลขที่ 381420 และ 311493 ตามลำดับ สำหรับเปรียบเทียบการเกิดฟิล์มบางไทเทเนียมเซอร์โคเนียมในไตรด์ที่เคลือบได้ พบรูปแบบการเลี้ยวเบนรังสีเอกซ์ของฟิล์มที่เคลือบได้ อยู่ระหว่างรูปแบบการเลี้ยวเบนรังสีเอกซ์ของไทเทเนียมในไตรด์และเซอร์โคเนียมในไตรด์ จึงกล่าวได้ว่าฟิล์มที่เคลือบได้ในงานวิจัยนี้คือ ฟิล์มบางของไทเทเนียมเซอร์โคเนียมในไตรด์ ระยะ (111), (200), (220) และ (311) ตามลำดับ โดยมีระยะ (200) เป็น preferred orientation



ภาพที่ 4-8 รูปแบบการเลี้ยวเบนรังสีเอกซ์ของฟิล์มบางไทเทเนียมเซอร์โคเนียมในไตรด์เคลือบที่เวลาต่าง ๆ

สำหรับขนาดผลึกของพิล์มนางไทเทเนียมเซอร์โคเนียมในไตรค์ท่าได้จาก Scherrer equation โดยอาศัยรูปแบบการเลี้ยวเบนรังสีเอกซ์ของพิล์มนางที่ได้พบว่าเมื่อเวลาในการเคลือบเพิ่มขึ้น ผลึกมีขนาดค่อนข้างคงที่ โดยมีค่าในช่วง 24.3 nm ถึง 24.7 nm ดังแสดงในตารางที่ 4-5

ตารางที่ 4-4 ค่าคงที่แลตทิซของพิล์มนางไทเทเนียมเซอร์โคเนียมในไตรค์เคลือบที่เวลาต่าง ๆ

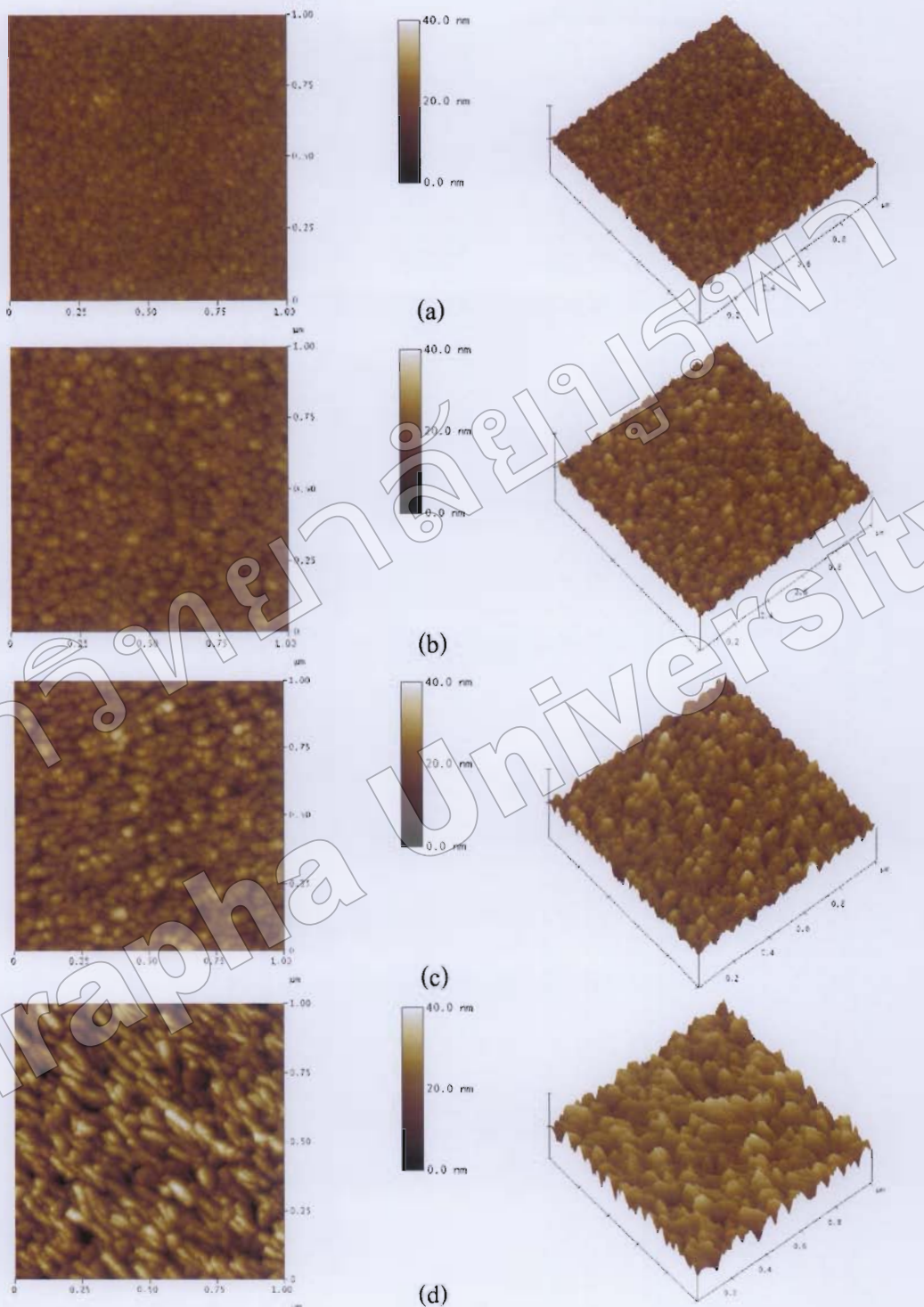
ค่าคงที่แลตทิซ	มาตรฐาน		เวลาในการเคลือบ (min)			
	TiN	ZrN	15	30	45	60
	JCPDS No. 381420	JCPDS No. 311493				
$a = b = c (\text{\AA})$	4.241	4.574	4.262	4.264	4.262	4.283
$\alpha = \beta = \gamma$ (องศา)	90	90	90	90	90	90

ตารางที่ 4-5 ขนาดผลึกของพิล์มนางไทเทเนียมเซอร์โคเนียมในไตรค์เคลือบที่เวลาต่าง ๆ

เวลาในการเคลือบ (min)	ระนาบ (200)	
	FWHM (rad)	ขนาดผลึก (nm)
15	0.005	24.7
30	0.005	24.7
45	0.005	24.3
60	0.005	24.7

### 3. ความหนา และลักษณะพื้นผิว

ภาพที่ 4-9 สำหรับแสดงลักษณะพื้นผิวของพิล์มนางไทเทเนียมเซอร์โคเนียมในไตรค์เคลือบที่เวลาต่าง ๆ จากเทคนิค AFM พบว่าที่ผิวน้ำของพิล์มนางมีกรนลักษณะเล็กแหลมขนาดสมำเสมอใกล้เคียงกันกระจายทั่วผิวน้ำของพิล์มน สำหรับความหนาและความหยาบผิวของพิล์มนพบว่า เมื่อเพิ่มเวลาในการเคลือบจาก 15 นาที เป็น 60 นาที พิล์มนที่เคลือบได้มีความหนาและความหยาบผิวเพิ่มขึ้นดังแสดงในตารางที่ 4-6



ภาพที่ 4-9 ลักษณะพื้นผิวแบบ 2 มิติ และ 3 มิติ ของฟิล์มบางไทด์เนียมเชอร์โโคเนียมในไตร์ที่วิเคราะห์ด้วยเทคนิค AFM โดยเคลื่อนที่เวลาต่าง ๆ

(a) 15 นาที

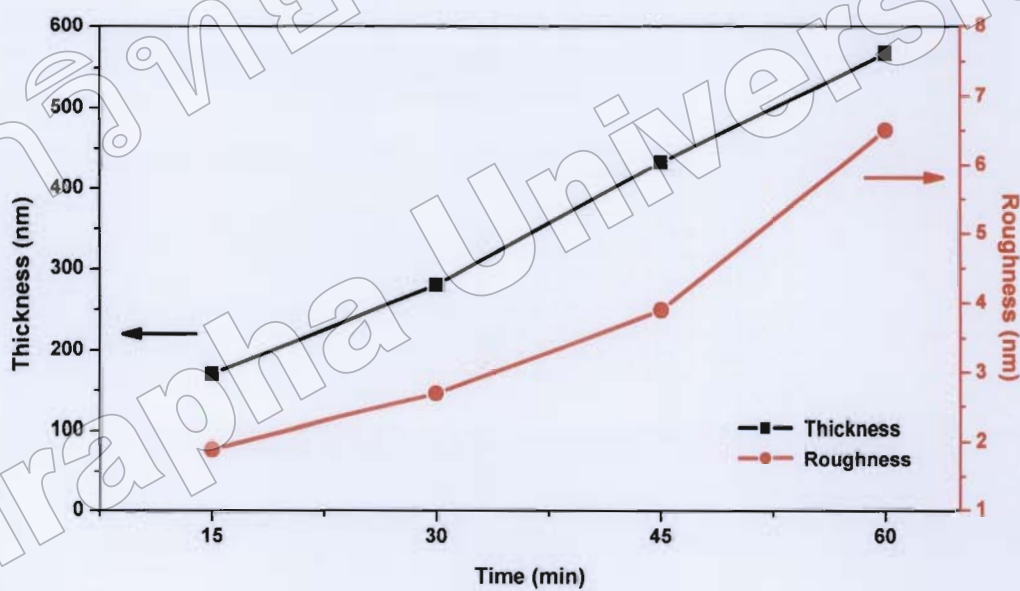
(b) 30 นาที

(c) 45 นาที

(d) 60 นาที

ตารางที่ 4-6 ความหนาและความหยาบผิวของฟิล์มบางไทเทนเนียมเซอร์โคเนียมในไตรด์เคลือบที่เวลาต่าง ๆ

เวลาในการเคลือบ (min)	ความหนา (nm)	ความหยาบผิว (nm)
15	170	1.9
30	280	2.7
45	432	3.9
60	567	6.5



ภาพที่ 4-10 ความหนาและความหยาบผิวของฟิล์มบางไทเทนเนียมเซอร์โคเนียมในไตรด์เคลือบที่เวลาต่าง ๆ

#### 4. องค์ประกอบธาตุของพิล์ม

ภาพที่ 4-11 แสดงผลองค์ประกอบธาตุของพิล์มนางไทเทเนียมเซอร์โคเนียมในไตรด์ที่วิเคราะห์ด้วยเทคนิค EDX พบว่าพิล์มนางที่เคลือบได้ทั้งหมดมีไทเทเนียม (Ti) เซอร์โคเนียม (Zr) และไนโตรเจน (N) เป็นองค์ประกอบในสัดส่วนต่าง ๆ โดยพบว่าเมื่อเวลาในการเคลือบเพิ่มขึ้นจาก 15 นาที เป็น 60 นาที องค์ประกอบธาตุของพิล์มนางไม่มีการเปลี่ยนแปลงไปตามเวลาที่เพิ่มขึ้น โดยไทเทเนียม เซอร์โคเนียม และไนโตรเจนมีค่าประมาณ 16% 26% และ 58% ตามลำดับ



ภาพที่ 4-11 องค์ประกอบธาตุของพิล์มนางไทเทเนียมเซอร์โคเนียมในไตรด์เคลือบที่เวลาต่าง ๆ